

## DD 63 S, DD 64 S

## Elektrische Eigenschaften

## Electrical properties

## Höchstzulässige Werte

## Maximum rated values

Periodische Spitzensperrspannung	repetitive peak reverse voltage	$t_{vj} = -40^{\circ}\text{C} \dots t_{vj\ max}$	$V_{RRM}$	DD 63 S:	1000	V
					1200	V
					1400	V
				DD 64 S:	400	V
					600	V
					800	V
					1000	V
Stoßspitzenspannung	non repetitive peak reverse voltage	$t_{vj} = +25^{\circ}\text{C} \dots t_{vj\ max}$	$V_{RSM} = V_{RRM}$	+ 50	V	
Durchlaßstrom-Grenzeffektivwert	RMS forward current		$I_{FRMSM}$	120	A	
Dauergrenzstrom	average forward current	$t_C = 100^{\circ}\text{C}$ $t_C = 84^{\circ}\text{C}$	$I_{FAVM}$	63	A	
				76	A	
Stoßstrom-Grenzwert	surge current	$t_{vj} \leq 25^{\circ}\text{C}, t_p = 10\text{ ms}$ $t_{vj} = t_{vj\ max}, t_p = 10\text{ ms}$	$I_{FSM}$	1900	A	
				1600	A	
Grenzlastintegral	$\int i^2 dt$ -value	$t_{vj} \leq 25^{\circ}\text{C}, t_p = 10\text{ ms}$ $t_{vj} = t_{vj\ max}, t_p = 10\text{ ms}$	$\int i^2 dt$	18000	$\text{A}^2\text{s}$	
				12800	$\text{A}^2\text{s}$	

## Charakteristische Werte

## Characteristic values

Durchlaßspannung	forward voltage	$t_{vj} = t_{vj\ max}, i_F = 230\text{ A}$	$V_F$	max.	1,62	V
Schleusenspannung	threshold voltage		$V_{(TO)}$		1	V
Ersatzwiderstand	slope resistance		$r_T$		2,2	$\text{m}\Omega$
Sperrstrom	reverse current	$t_{vj} = t_{vj\ max}, V_R = V_{RRM}$	$i_R$	max.	40	$\text{mA}$
Nachlaufladung	lag charge	$t_{vj} = t_{vj\ max}, i_{FM} = 120\text{ A}$ $-di_F/dt = 100\text{ A}/\mu\text{s}$	DD 63 S: DD 64 S:	$Q_S$	max.	$46\text{ }\mu\text{As}$
Isolations-Prüfspannung	insulation test voltage	RMS, $f = 50\text{ Hz}$ , $t = 1\text{ min}$	$V_{ISOL}$		2,5	kV

## Thermische Eigenschaften

## Thermal properties

Innerer Wärmewiderstand	thermal resistance, junction to case	$\Theta = 180^{\circ}\text{el}$ , sinus: pro Modul/per module DC: pro Modul/per module pro Zweig/per arm	$R_{thJC}$	max.	0,31	$^{\circ}\text{C/W}$
Übergangs-Wärmewiderstand	thermal resistance, case to heatsink	pro Modul/per module pro Zweig/per arm	$R_{thCK}$	max.	0,08	$^{\circ}\text{C/W}$
Höchstzul. Sperrsichttemperatur	max. junction temperature		$t_{vj\ max}$		150	$^{\circ}\text{C}$
Betriebstemperatur	operating temperature		$t_{co}$		- 40	$^{\circ}\text{C} \dots +150^{\circ}\text{C}$
Lagertemperatur	storage temperature		$t_{stg}$		- 40	$^{\circ}\text{C} \dots +150^{\circ}\text{C}$

## Mechanische Eigenschaften

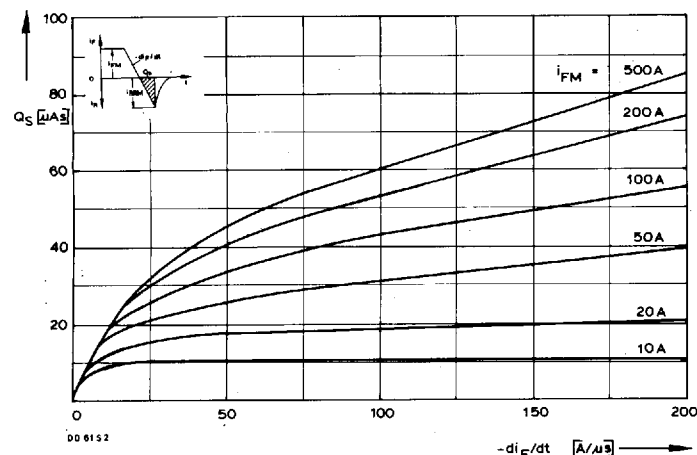
## Mechanical properties

Si-Elemente mit Druckkontakt	Si-pellets with pressure contact					
Innere Isolation	internal insulation					AlN
Anzugsdrehmomente	tightening torques					
mechanische Befestigung	mounting torque	Toleranz/tolerance $\pm 15\%$	M1		4	Nm
elektrische Anschlüsse	terminal connection torque	Toleranz/tolerance $+ 5\%/- 10\%$	M2		4	Nm
Gewicht	weight		G		typ.	200 g
Kriechstrecke	creepage distance					12,5 mm
Schwingfestigkeit	vibration resistance	$f = 50\text{ Hz}$			5	$\cdot 9,81\text{ m/s}^2$
Maßbild	outline					4

DD 63 S, DD 64 S können auch mit gemeinsamer Anode oder gemeinsamer Kathode geliefert werden.

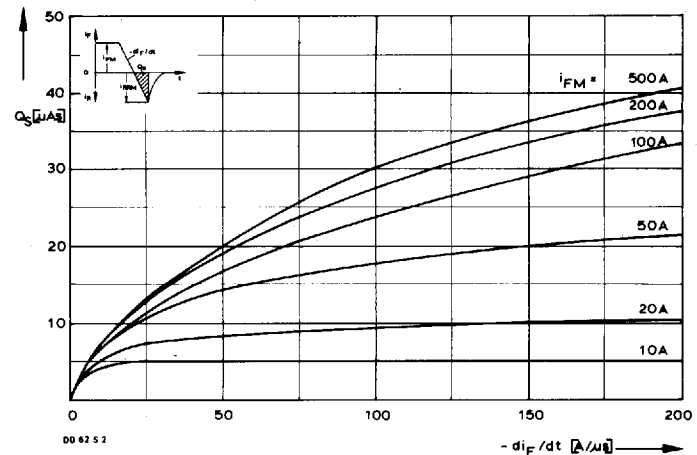
DD 63 S, DD 64 S can also supplied with common anode or common cathode.

## DD 63 S, DD 64 S



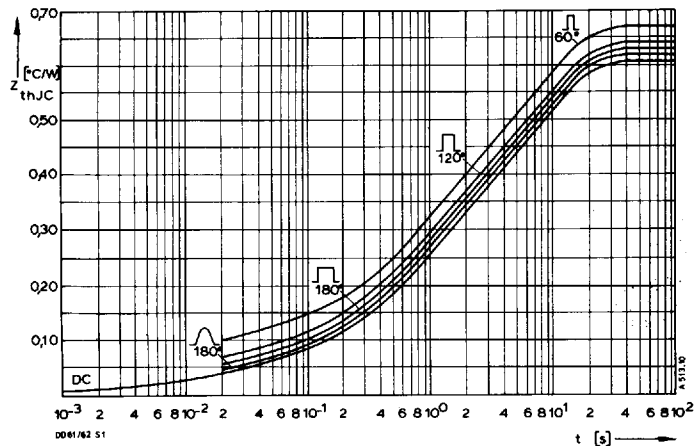
Bild/Fig. 1 DD 63 S

Typische Abhängigkeit der oberen Nachlauffladung  $Q_S$  von der abkommun-tierenden Stromsteilheit  $-di_F/dt$  bei  $t_{vj} = t_{vj \max}$ .  
Typical relationship between the maximum lag charge  $Q_S$  and the rate of decay of forward current  $-di_F/dt$  at  $t_{vj} = t_{vj \max}$ .



Bild/Fig. 2 DD 64 S

Typische Abhängigkeit der oberen Nachlauffladung  $Q_S$  von der abkommun-tierenden Stromsteilheit  $-di_F/dt$  bei  $t_{vj} = t_{vj \max}$ .  
Typical relationship between the maximum lag charge  $Q_S$  and the rate of decay of forward current  $-di_F/dt$  at  $t_{vj} = t_{vj \max}$ .



Bild/Fig. 3 DD 63 S, DD 64 S

Transienter innerer Wärmewiderstand  $Z_{thJC}$  je Zweig bei sinus- und trapezförmigem Stromverlauf.  
Transient thermal impedance  $Z_{thJC}$ , junction to case per arm at sinusoidal and trapezoidal current waveform.

Pos. n	1	2	3	4	5
$R_{thn}$ [ $^{\circ}\text{C/W}$ ]	0,01	0,0294	0,108	0,1796	0,2825
$\tau_n$ [s]	0,0011	0,0159	0,352	1,54	8,55

$$Z_{thJC} = \sum_{n=1}^{n_{\max}} R_{thn} (1 - e^{-t/\tau_n})$$

Transienter Wärmewiderstand  $Z_{thJC}$  pro Zweig für DC.  
Transient thermal impedance  $Z_{thJC}$  per arm for DC.